

УДК 538.355

©1994

**СЛАБЫЙ ФЕРРОМАГНЕТИЗМ
И МАГНИТНОЕ ПОВЕДЕНИЕ КВАЗИДВУМЕРНОГО
АНТИФЕРРОМАГНЕТИКА $(\text{CH}_3\text{NH}_3)_2\text{MnCl}_4$**

Н.В.Федосеева, С.С.Аплеснин, Е.М.Николаев, А.П.Перепелица

Экспериментально исследовано магнитное поведение квазидвумерного антиферромагнетика $(\text{CH}_3\text{NH}_3)_2\text{MnCl}_4$. Обнаружено, что при $T < T_N = 45.3$ К кристалл обладает слабым ферромагнитным моментом. Показано, что ориентационные фазовые переходы по полю, температуре и гистерезисные эффекты обусловлены конкуренцией антисимметричного обмена и анизотропии.

Магнитное поведение кристаллов $(\text{CH}_3\text{NH}_3)_2\text{MnCl}_4$ с хорошей точностью соответствует двумерной антиферромагнитной модели Гейзенберга [1]. Идеальная двумерность нарушается слабым межплоскостным и релятивистским взаимодействиями. В результате их конкуренции в кристалле реализуется релятивистски неколлинеарная магнитная структура, а магнитные статические свойства в таких кристаллах имеют ряд особенностей.

Задачей настоящей работы является экспериментальное и теоретическое исследование магнитного поведения квазидвумерного антиферромагнетика $(\text{CH}_3\text{NH}_3)_2\text{MnCl}_4$, структура которого образована практически квадратными слоями магнитных ионов Mn^{2+} в октаэдрическом окружении Cl^- , между которыми расположены длинные алкиламмониевые группы (при записи формулы соединения используем сокращенное обозначение метиламмония $(\text{CH}_3\text{NH}_3) — \text{MA}$).

Тетрагональный при высоких температурах MA_2MnCl_4 при понижении температуры претерпевает ряд структурных фазовых переходов [2]. В низкотемпературной фазе, т.е. в области существования магнитного порядка, MA_2MnCl_4 имеет моноклинную структуру (пространственная группа $P2_1/a$), стабильную при $T < 94$ К, в которой октаэдры ионов хлора развернуты относительно друг друга, а направление их осей образует шахматную структуру в плоскости [3]. Параметры решетки при низких температурах: $a = 7.13$, $b = 19.35$, $c = 7.25$, $\beta = 92.10^\circ$.

1. Экспериментальные результаты

Монокристаллы MA_2MnCl_4 выращены растворным методом, имеют хорошо выраженные плоскости спайности и оптически прозрачны в видимой и ближней ИК-областях спектра.

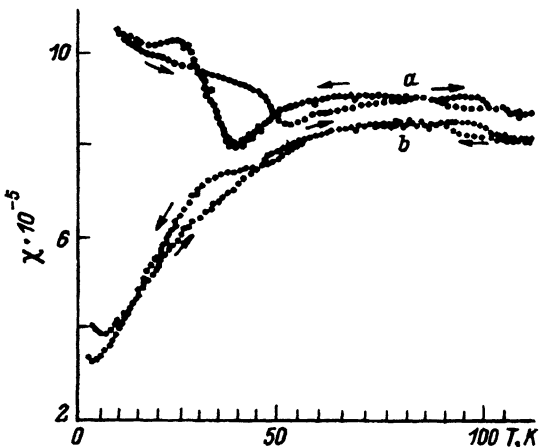


Рис. 1. Температурная зависимость магнитной восприимчивости MA_2MnCl_4 в поле $H=5$ кОе при $H \perp b$ (a) и $H \parallel b$ (b).

Измерения проводились на автокомпенсационном магнитометре со сверхпроводящим соленоидом в полях до 80 кОе в температурном интервале 4.2–300 К [4].

Антиферромагнитный характер упорядочения MA_2MnCl_4 иллюстрируется при изучении температурной зависимости магнитной восприимчивости и полевых зависимостей магнитного момента. Широкий максимум в $\chi(T)$ при $T \sim 80$ К свидетельствует о формировании ближнего антиферромагнитного порядка в плоскостях, температура $T_N = 45.3$ К соответствует максимальному изменению $d\chi/dT$. На рис. 1 приведена температурная зависимость $\chi_m(T)$ для MA_2MnCl_4 в поле $H = 5$ кОе при $H \perp b$ (1) и $H \parallel b$ (2). Существенный гистерезис, наблюдаемый при $T \lesssim 100$ К, с увеличением поля измерений растет. Обратим внимание на особенность в поведении $\chi(T)$, связанную со структурным фазовым переходом при $T_{st} = 94$ К. Значительный гистерезис в области фазового перехода приводит к несовпадению T_{st} при увеличении и последующем снижении температуры, вызван двойникованием кристалла при переходе и сохранением областей орторомбической фазы при $T < 94$ К. С увеличением поля измерений $\Delta T = T_{st}^1 - T_{st}^2$ постепенно увеличивается, и только при $H = 40$ кОе наблюдается резкое уменьшение ΔT , что, видимо, связано с изменением магнитной структуры кристалла в поле. Заметим, что в основном с полем меняется T_{st}^2 , т.е. температура, определенная при понижении температуры от комнатной до 4.2 К.

На рис. 2, а представлены зависимости магнитного момента MA_2MnCl_4 от напряженности магнитного поля, приложенного в направлениях $H \perp b$ и $H \parallel b$ при $T = 4.2$ К. При ориентации поля $H \parallel b$ в поле $H_{c1} = 35$ кОе наблюдается четко выраженный скачок намагниченности ΔM с увеличением магнитного момента, тогда как при $H \perp b$ намагниченность растет монотонно. При уменьшении магнитного поля до нуля момент образца не обращается в нуль, а зависимость $M(H)$ в этой области полей нелинейна, т.е. кристалл MA_2MnCl_4 обнаруживает характерные свойства антиферромагнетика со слабым ферромагнитным моментом, величина которого при $T = 4.2$ К составляет $m_s^a = 0.15$ Г·см³·г⁻¹.

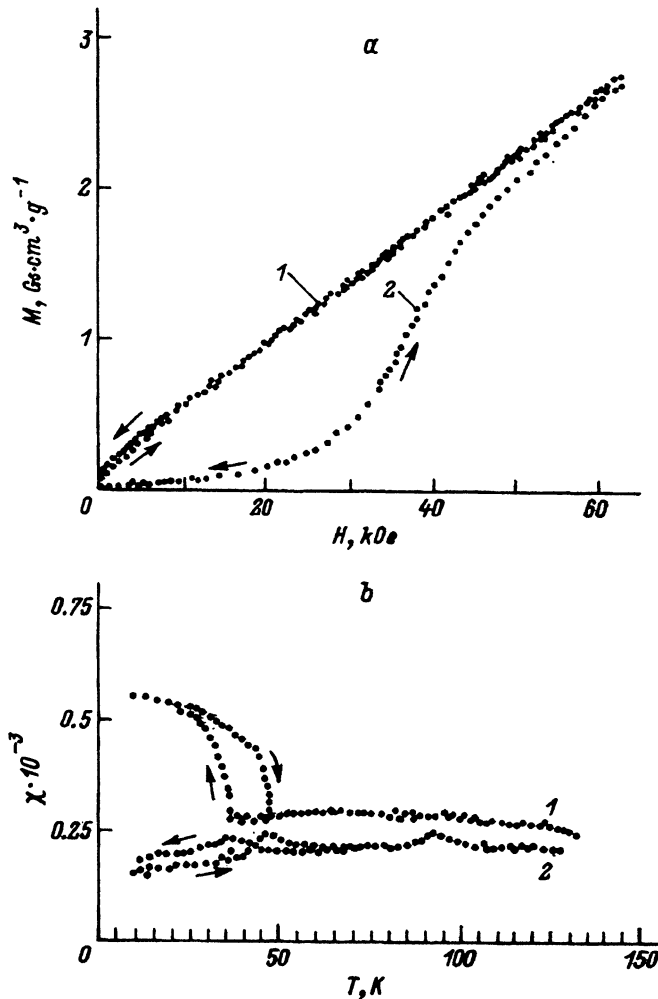


Рис. 2. а) Зависимость магнитного момента MA_2MnCl_4 от напряженности магнитного поля при $T = 4.2 \text{ K}$, $H \perp b$ (1), $H \parallel b$ (2). б) Изменение магнитной восприимчивости MA_2MnCl_4 с температурой в поле $H = 200 \text{ Oe}$, $H \perp b$ (1), $H \parallel b$ (2).

На рис. 2, б приведена зависимость $\chi(T)$ MA_2MnCl_4 в малом поле ($H = 200 \text{ Oe}$). Видно, что при $H \parallel a$ переход в магнитоупорядоченное состояние сопровождается скачком восприимчивости, который на фоне широкого максимума составляет около 50%. С увеличением поля измерений величина скачка $\Delta\chi/\chi$ уменьшается. Температурный гистерезис при этом переходе составляет $\sim 10 \text{ K}$. В парамагнитной области прямой и обратный ход восприимчивости совпадают. В зависимости $\chi_b''(T)$ температуре перехода соответствует пичок восприимчивости, что подтверждает, что ориентация слабого ферромагнитного момента соответствует направлению a в плоскости, перпендикулярной оси b . Измерения g -фактора MA_2MnCl_4 методом ЭПР при $T = 77 \text{ K}$ показали, что $g_{\parallel}^b = 1.9927$, $g_{\perp}^b = 2.0049$, т.е. в этой фазе анизотропия типа «легкая плоскость».

2. Модель

Для объяснения экспериментальных результатов, полученных на MA_2MnCl_4 , рассмотрим модель с антисимметричным обменом и моноклинной анизотропией, что допускается симметрией кристалла. Использование других моделей, в частности модели, в которой направление осей магнитной анизотропии соответствует направлению поворотов октаэдров, не объясняет экспериментальных результатов, хотя и допускает слабый момент в плоскости, исчезающий при $T < T_N$. При этом в парафазе значение продольной восприимчивости превышает значение поперечной ($\chi_{||} > \chi_{\perp}$), и это отличие тем больше, чем больше значение анизотропии.

Рассмотрим классическую модель Гейзенберга, что оправдано большой величиной спина ($S = 5/2$ для Mn^{2+}) и низкой симметрией кристалла. Гамильтониан взаимодействия имеет вид

$$\mathcal{H} = - \sum_{ij} J_{ij}^{\alpha} \mathbf{S}_i \mathbf{S}_j - \sum_{ij} K_{ij} \mathbf{S}_i \mathbf{S}_j - \sum_{ij} D_{ij}^{\alpha} [\mathbf{S}_i \mathbf{S}_j]_{\alpha} - \sum_{ij} k_{ij} (S_i^x S_i^y + S_j^x S_j^y - S_i^x S_j^y - S_j^x S_i^y) - \sum_i H_i \mathbf{S}_i, \quad (1)$$

где $J_{ij}^{\alpha} < 0$ — анизотропное обменное взаимодействие в плоскости; $K > 0$ — изотропное обменное взаимодействие между слоями; D_a^{α} ($\alpha = x, y$) — параметр взаимодействия Дзялошинского внутри слоя; $k < 0$ — константа анизотропного взаимодействия моноклинной симметрии; H — внешнее магнитное поле, приложенное вдоль оси b и в плоскости по оси c . Существующее дипольное взаимодействие много меньше величины обмена, но превышает анизотропию обмена и его можно учесть, перенормировав анизотропию обмена

$$\Delta J^{zz} = (J^{zz} - J^{yy})/J^{yy}, \quad \Delta J^{xx} = (J^{xx} - J^{yy})/J^{yy}.$$

Теоретические расчеты магнитных свойств и анализ экспериментальных результатов проведены с помощью моделирования методом Монте-Карло [5] с периодическими и зеркальными условиями на квадратной решетке размером 40×40 , 60×60 и трехмерной $24 \times 24 \times 4$. Все используемые в вычислениях характеристики нормированы на обмен и спин [6]. Слабость обменного взаимодействия между слоями приводит к усилиению роли релятивистских взаимодействий при формировании дальнего магнитного порядка, и магнитная структура такой системы оказывается неколлинеарной (рис. 3).

Анализ магнитных статических свойств MA_2MnCl_4 показывает, что в этом соединении магнитные моменты в слоях упорядочены антиферромагнитно, легкой осью анизотропии является ось x , система обладает слабым ферромагнитным моментом и существенным гистерезисом по температуре. В плоскости xy магнитные моменты подрешеток направлены под разными углами к оси x из-за конкуренции взаимодействий антисимметричного обмена, моноклинной анизотропии, которая стремится направить вектор антиферромагнетизма по диагонали xy , и

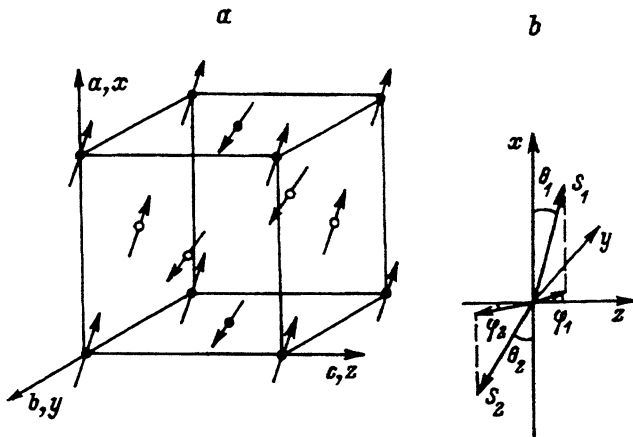


Рис. 3. Магнитная структура MA_2MnCl_4 (а), направление магнитных моментов подрешеток в базисной плоскости (б).

анизотропии обмена ΔJ^{xx} вдоль оси x . Так, если $D = 0$, угол наклона вектора антиферромагнетизма l_{AF} определяется

$$\tan 2\theta = 4k/\Delta J^{xx}. \quad (2)$$

Инвариант Дзялошинского ($S_i^x S_j^z - S_i^z S_j^x$) приводит к появлению спонтанного момента в плоскости слоя, направленного по оси Oz , и его величина пропорциональна константе D , а инвариант ($S_i^y S_j^z - S_i^z S_j^y$) имеет меньший порядок малости и ответственен за создание слабого момента в плоскости yz . Если величина $D > \Delta J^{zz}$ превышает анизотропию в плоскости слоя, то момент выходит из плоскости xz и $m^z > m^y \neq 0$ (рис. 4, а). При $D > \Delta J^{xx}$ происходит ориентационный переход, меняется направление излома подрешеток, компоненты вектора

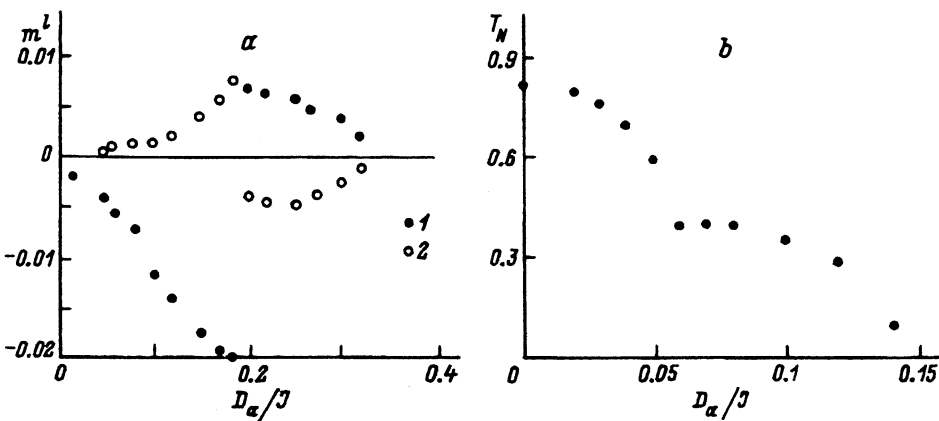


Рис. 4. Намагниченность анизотропного антиферромагнетика $J^{xx}/J^{yy} = 1.2$, $J^{xx}/J^{yy} = 1.05$, $\beta = 0.025$ в базисной плоскости по осям Oz , Oy (а) и температура Нееля антиферромагнетика с $J^{xx}/J^{yy} = 1.05$, $J^{xx}/J^{yy} = 1.02$, $\beta = 0.05$ (б) от величины нормированной константы антисимметричного обмена.

подрешеточной намагниченности меняют знак $m^\alpha \rightarrow -m^\alpha$ ($\alpha = z, y$) (рис. 4,а) и слабый момент стремится расположиться по пространственной диагонали элементарной ячейки. Если величина антисимметричного обмена в 2–3 раза превышает поле анизотропии, включающее в себя моноклинную и анизотропию обмена, то дальний порядок исчезает, $T_n \rightarrow 0$ (рис. 4,а). Антиферромагнетик переходит в парофазу с развитым ближним или средним порядком, где спин-спиновые корреляционные функции стремятся к нулю на расстоянии нескольких десятков постоянной решетки.

Наличие слабого магнитного момента в кристалле качественно изменяет температурное поведение восприимчивости по сравнению с антиферромагнетиком, у которого антисимметричный обмен отсутствует (рис. 5). При больших значениях константы антисимметричного обмена $H_D > H_A$ угол наклона вектора антиферромагнетизма увеличивается с температурой и I_{AF} изменяет свое пространственное направление, поворачиваясь к плоскости zx , так что из трех компонент намагниченности $m^x \neq m^y \neq m^z \neq 0$ остается одна $m^z \neq 0$ при $T > T^* \approx T_N/2$ (рис. 2,б, с). При $T < T^*$ продольная восприимчивость слабо меняется с температурой (рис. 5,б) по сравнению с антиферромагнетиком, у которого антисимметричный обмен мал. В области температуры

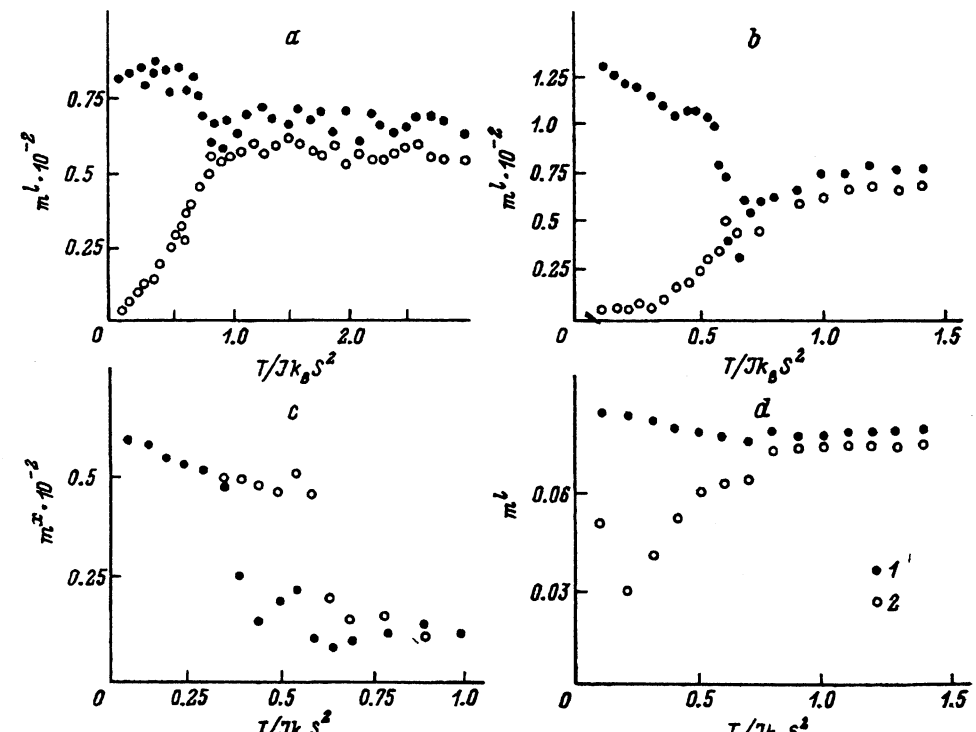


Рис. 5. Магнитный момент анизотропного антиферромагнетика m^l с $J^{xz}/J^{yy} = 1.05$, $J^{zz}/J^{yy} = 1.02$, $\beta = 0.015$ в поле $H/JS = 0.05$, $D_a/J = 0.02$ (а), $H/JS = 0.05$, $D_a/J = 0.05$ (б), $H/JS = 0.7$ (д), $H/JS = 0$, вычисленный из высокотемпературной (1) и упорядоченной (2) конфигураций (с) от нормированной температуры $T/Jk_B S^2$.

Нееля происходит ориентационный фазовый переход, что приводит к скачку намагниченности и фазовому переходу 1-го рода, т.е. вектор антиферромагнетизма ближнего порядка при $T > T_N$ стремится расположиться по пространственной диагонали элементарной ячейки, а в магнитоупорядоченной области при $T < T_N$ \mathbf{l}_{AF} почти совпадает с осью Ox .

Зависимость температуры Нееля от величины D при $D = D_c$ имеет излом (рис. 4,б), разделяющий линии фазового перехода 1-го и 2-го рода. Например, для антиферромагнетика с $J^{xx}/J^{yy} = 1.05$, $J^{zz}/J^{yy} = 1.02$, $k/J^{yy} = 0.015$, $D_c = 0.05$. Причиной смены типа фазового перехода является конкуренция взаимодействий бинарного и антисимметричного обмена, которая обрезает радиус корреляции флуктуаций. Аналогичное температурное поведение намагниченности в продольном и поперечном слабом поле наблюдается в MA_2MnCl_4 (рис. 1,а). Температурный гистерезис $\chi(T)$ вызван вырождением в конфигурационном пространстве, что характерно для фазовых переходов 1-го рода.

В численном моделировании использовались разные исходные спиновые конфигурации и в определенном интервале температур получены две последовательности значений m^z с одинаковой энергией (рис. 5,с), которые совпадают в больших полях.

Намагничивание антиферромагнетика с антисимметричным обменом в магнитном поле, приложенном вдоль оси Ox и в плоскости слоя, также отличается от антиферромагнетика с $D = 0$, $k = 0$, имеющего поле спин-флопа $H_{sf}/JS = 0.9$, и значение магнитного момента в этом поле $m^x = 0.04$ (рис. 6,а) удовлетворительно согласуется с результатами, полученными в приближении молекулярного поля $H_{sf}/JS = 0.96$ и $m^x = 0.03$ [7]. Кривые намагничивания антиферромагнетика с антисимметричным обменом для разных констант D изображены на рис. 6,а, б. В зависимости $m(H)$ можно выделить три критических значения по-

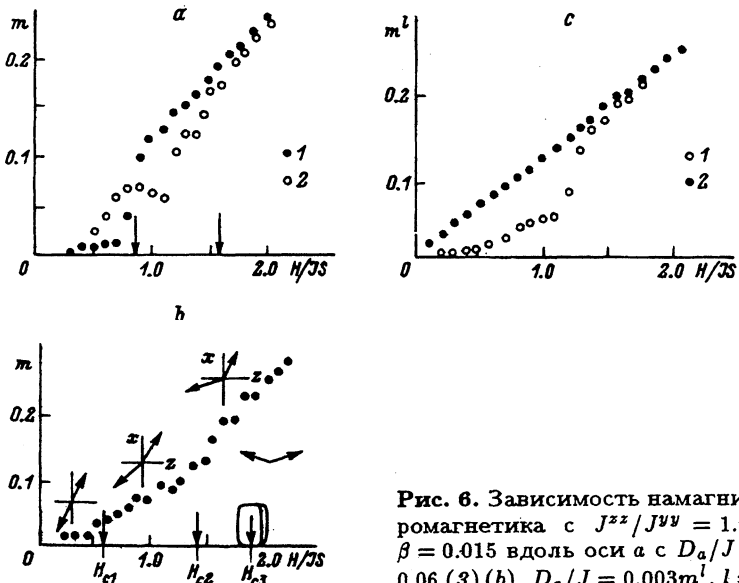


Рис. 6. Зависимость намагниченности антиферромагнетика с $J^{zz}/J^{yy} = 1.05$, $J^{xx}/J^{yy} = 1.02$, $\beta = 0.015$ вдоль оси a с $D_a/J = 0$ (1), 0.03 (2) (а), 0.06 (3) (б), $D_a/J = 0.003m^l$, $l = z$ (1), $l = x$ (2) (с).

ля. В поле $H > H_{c1}$ происходит ориентационный переход, связанный с увеличением наклона вектора антиферромагнетизма в плоскости zx , а в поле $H > H_{c2}$ IAF поворачивается к направлению пространственной диагонали кристалла. При $H = H_{c3}$ происходит спин-флоп переход, по продольным компонентам спина устанавливается ферромагнитное упорядочение, а поперечным — антиферромагнитное со слабым моментом базисной плоскости. С ростом величины антисимметричного обмена критические поля сдвигаются в сторону высоких полей. Намагничивание в плоскости слоя имеет нелинейный вид (рис. 6,с) в интервале полей $H_{c1} < H < H_{c3}$, что и наблюдается в эксперименте на MA_2MnCl_4 . Константы антисимметричного обмена D^x и D^y в общем случае могут отличаться по величине. На рис. 6,с дана зависимость $m(H)$ антиферромагнетика с $D^y = 0.03$, $D^x = 0$, у которого поле спин-флопа H_{c3} меньше, чем у антиферромагнетика с $D^y = D^x = 0.03$.

Наблюдаемый экспериментально перегиб в зависимости dm^z/dH при $H = 35 \text{ kOe}$ не соответствует полю спин-флопа, что объясняет довольно высокое значение момента в плоскости по сравнению с его величиной вдоль оси c при $H > 35 \text{ kOe}$ ($m^z > m^x$) и разрешает противоречие с вычисленными константами обмена и анизотропии в Rb_2MnCl_4 [8]. Так, в обоих соединениях температуры Нееля отличаются незначительно ($T_N = 55 \text{ K}$ для Rb_2MnCl_4), а поля спин-флопов, определенные экспериментально, существенно различны ($H_{sf} = 56 \text{ kOe}$ для Rb_2MnCl_4), хотя поле анизотропии для Rb_2MnCl_4 меньше, что обусловлено более высокосимметричной фазой последнего. Это объясняет немонотонное температурное поведение восприимчивости, имеющее провал в сильных полях $H = 40 \text{ kOe}$, превышающих поле спин-флопа, когда $m^{z(z)}$ должна быть постоянной, согласно численным расчетам, и от температуры не зависеть. В данной модели при $H = 0.7 > H_{c1} = 0.5$ наблюдается провал в $m^z(T)$ (рис. 5). Для определения констант обменного взаимодействия, анизотропии обмена, моноклинной анизотропии, антисимметричного обмена необходимы дополнительные измерения восприимчивости в базисной плоскости и резонансные исследования. Варьирование этих констант и сравнение вычисленных зависимостей намагниченности от температуры и поля дают следующие оценки параметров:

$$J^{xx}/J^{yy} = 1.05, \quad J^{zz}/J^{yy} = 1.02, \quad D/J^{yy} = 0.05, \quad k/J^{yy} = 0.015.$$

Итак, в работе показано, что к образованию наблюдаемого в эксперименте слабого момента в MA_2MnCl_4 , вектор которого выходит из базисной плоскости, приводят антисимметричный обмен, конкуренцией которого с анизотропией обусловлены ориентационные фазовые переходы по полю, температуре и гистерезисные эффекты.

Авторы благодарны К.С.Александрову за полезные обсуждения.

Работа выполнена при финансовой поддержке Красноярского фонда науки.

Список литературы

- [1] Van Amstel W.D., de Jongh L.I. // Sol. St. Comm. 1972. V. 11. N 10. P. 1423–1429.
- [2] Aleksandrov K.S., Beznosikov B.V., Misyl S.V. // Phys. St. Sol. (a). 1987. V. 104. N 1. P. 529–543.
- [3] Александров К.С., Безносиков Б.В., Мисюль С.В. // Препринт Ин-та физики СО РАН. Красноярск, 1986. № 381 Ф.

- [4] Балаев А.Д., Бояршинов Ю.В., Карпенко М.М., Хрусталев Б.П. // ПТЭ. 1985. № 3. С. 167-168.
- [5] Биндер К. Методы Монте-Карло в статистической физике. М.: Наука, 1982. 391 с.
- [6] Петраковский Г.А., Аплеснин С.С. // ФТТ. 1987. Т. 29. № 2. С. 515-522.
- [7] Боровик-Романов А.С. Лекции по низкотемпературному магнетизму. Новосибирск; Изд-во НГУ, 1976. С. 120-131.
- [8] Петраковский Г.А., Федосеева Н.В., Аплеснин С.С., Королев В.К. // ФТТ. 1987. Т. 29. № 9. С. 2579-2586.

Институт физики
им. Л.В.Киренского СО РАН
Красноярск

Поступило в Редакцию
9 февраля 1994 г.